

การใช้แก๊สโอโซนในการกำจัดหนอนแมลงวันผลไม้ (*Bactrocera latifrons*) ในพริก
Application of Ozone Gas to Disinfest Fruit Fly (*Bactrocera latifrons*) in Chilli

สุรินทรพร ชั่งไชย¹ จตุรภัทร วาฤทธิ^{1*} สมเกียรติ จตุรงค์กล้าเลิศ¹ กาญจนา นาคประสม¹
ณัฐพัชร์ เถียรวรกานต์² และพิสุทธิ์ กลิ่นขจร¹

Surintrapron Changchai¹, Jaturapatr Varith^{1*}, Somkiat Jaturonglumert¹, Kanjana Narkprasom¹
Nutpachara Theanworrakant² and Pisuthi Klinkajorn¹

¹คณะวิศวกรรมและอุตสาหกรรมเกษตร มหาวิทยาลัยแม่โจ้ เชียงใหม่ 50290

²คณะผลิตกรรมการเกษตร มหาวิทยาลัยแม่โจ้ เชียงใหม่ 50290

¹Faculty of Engineering and Agro-Industry, Maejo University, Chiang Mai, Thailand 50290

²Faculty of Agricultural Production, Maejo University, Chiang Mai, Thailand 50290

*Corresponding author: jatuphon@mju.ac.th

Abstract

One of the persistent problems for fresh chilli export is fruit fly infestation as it lays eggs in the field, but larvae hatches at the end market-shelf. This research dealt with an application of high concentration ozone fumigation to disinfest fruit fly larvae in fresh chilli cv. Super Hot (*Capsicum frutescens* Linn.). The ozone fumigation system consisting of ozone generator, control system, and 25 L polycarbonate sample container was applied to fresh chilli infested with fruit fly larvae under pressure 12 kPa. Chilli was treated with high concentration ozone in a range of 41,136-83,147 ppm and holding time of 5-15 minutes, equivalent to a dose of concentration-time (CT) of 389,480-1,168,440 ppm·min. Results show that ozone fumigation with CT dose ranging of 831,470-1,168,440 ppm·min disinfested larvae of fruit fly for 100%. With this CT dose, red color index and firmness of chilli fruit did not significantly change ($p>0.05$), but brightness of stems significantly darker ($p\leq 0.05$) than that of the control.

Keywords: ozone fumigation, disinfestation, fruit fly, chilli, color index

บทคัดย่อ

แมลงศัตรูพืชเป็นปัญหาสำคัญในการส่งออกพริกสด เพราะแมลงวันผลไม้จะเข้าวางไข่ไว้ในพริกตั้งแต่อยังอยู่ในแปลงปลูก และหนอนแมลงวันจะฟักตัวเมื่ออยู่ใน

ชั้นวางสินค้าปลายทาง งานวิจัยนี้เป็นการประยุกต์การรมแก๊สโอโซนความเข้มข้นสูง เพื่อกำจัดหนอนแมลงวันผลไม้ในพริกสายพันธุ์ซูเปอร์ฮอต (*Capsicum frutescens* Linn.) ชุดระบบการรมแก๊สโอโซนประกอบด้วยชุดกำเนิดโอโซน อุปกรณ์ควบคุม และถังโพลีคาร์บอเนตขนาด 25

ลิตร เพื่อบรรจุพริกทดลอง ที่ทดสอบภายใต้ความดันในระบบ 12 kPa ใช้ความเข้มข้นของโอโซนที่ 41,136-83,147 ppm และเวลาพักนาน 5-15 นาที ซึ่งเท่ากับค่า Dose ความเข้มข้น กับเวลา (CT) ในช่วง 389,480-1,168,440 ppm·min ผลการวิจัยพบว่า ที่ CT ในช่วง 831,470-1,168,440 ppm·min สามารถใช้กำจัดหนอนแมลงวันผลไม้ในพริกได้ 100% และไม่มี ความแตกต่างอย่างมีนัยสำคัญ ($p > 0.05$) ต่อค่าดัชนีสีแดงและความแน่นเนื้อของเนื้อพริก แต่มีผลทำให้หัวพริกมีสีคล้ำขึ้นอย่างมีนัยสำคัญ ($p < 0.05$) เมื่อเปรียบเทียบกับพริกตัวอย่างควบคุม

คำสำคัญ: การรมแก๊สโอโซน การกำจัด แมลงวันผลไม้ พริก ดัชนีสี

คำนำ

แก๊สโอโซนมีคุณสมบัติเป็นสารออกซิไดซ์ที่รุนแรงแต่สามารถใช้ได้อย่างปลอดภัยกับอาหาร (GRAS: Generally Recognized As Safe) (Guzel-Seydim *et al.*, 2004) แก๊สโอโซนสามารถทำปฏิกิริยากับสารชีวโมเลกุลและทำปฏิกิริยาออกซิเดชันกับโมเลกุลของไขมัน (Lipid peroxidation) เยื่อเมมเบรนที่มีสารอินทรีย์ของสิ่งมีชีวิตทำให้ผนังเซลล์ของสิ่งมีชีวิตอ่อนแอและแตกสลาย โอโซนจึงนำไปใช้กำจัดเชื้อจุลินทรีย์ แบคทีเรีย เชื้อราต่างๆ รวมทั้งการบำบัดน้ำเสีย การฆ่าเชื้อโรค กำจัดการเจริญเติบโตของแบคทีเรียที่อาจติดมากับผิวของผักผลไม้และควบคุมและกำจัดแมลงศัตรูพืช (Kasiviswanathan *et al.*, 2009) ในงานวิจัยของ Martin *et al.* (2011) ศึกษาการรมแก๊สโอโซนในบริเวณที่จัดเก็บเมล็ดธัญพืชเพื่อกำจัดตัวมอดแป้ง (Red flour beetle) และตัวอ่อนที่ปริมาณความเข้มข้นแก๊สโอโซน 40 ppm ในเวลา 6 ชั่วโมง สามารถกำจัดและควบคุมได้ 100% Marissa *et al.* (2011) ได้พัฒนาการกำจัดแมลงศัตรูพืช โดยการออกแบบเครื่องสายพานเกลียวแบบสกรูรวมกับการใช้แก๊สโอโซน ซึ่งมีระบบการไหลอย่างต่อเนื่อง ในการทำงานใช้ความ

เข้มข้นของแก๊สโอโซนประมาณ (C) 47,800 ppm และเวลา (T) ที่ใช้ในการผ่านเครื่องเกลียวสกรู 1 นาที 48 วินาที ซึ่งคิดเป็นปริมาณความเข้มข้นที่ผลิตภัณฑ์ได้รับเป็น CT เท่ากับ 258,120 ppm·min นำผ่านเครื่องสกรู 3 ครั้ง สามารถกำจัดตัวมอดแป้งแดงและตัวงในเมล็ดข้าวโพดได้ 100% และสามารถลดเชื้อราและสารเคมีตกค้างที่ผิวของเมล็ดข้าวโพดได้

แมลงศัตรูพืชเป็นปัญหาต่อเนื่องจากการใช้สารเคมีเกินขนาด ก่อให้เกิดสารตกค้างซึ่งเป็นปัญหาหลักในการส่งออกพริกสด การลดปริมาณสารเคมีกลับส่งผลในทางตรงกันข้าม เพราะไม่สามารถกำจัดแมลงศัตรูพืชได้ 100% เนื่องจากการเข้าทำลายพริกจะเริ่มตั้งแต่ในระยะพริกติดผล ระยะตัวหนอนจะซ่อนไข่กัดกินอยู่ภายในผลพริกนานถึง 2 สัปดาห์ (กฤษณา, 2550) ทำให้ผลพริกที่มีตัวอ่อนอยู่จะถูกเก็บเพื่อจำหน่าย ส่งผลกระทบต่อคุณภาพผลผลิตและมาตรฐานสินค้าการส่งออก คณะผู้วิจัยจึงมีแนวคิดพัฒนาระบบการรมแก๊สโอโซนมาประยุกต์ใช้ในการกำจัดหนอนแมลงวันผลไม้ในพริก โดยศึกษาปริมาณความเข้มข้นของโอโซน (Concentration; C) และเวลาในการพัก (Holding time; T) คิดเป็นค่าปริมาณความเข้มข้นของแก๊สโอโซนที่พริกได้รับ (Dose; CT) ซึ่งมีผลต่อความสามารถในการแทรกซึมผ่านเนื้อพริกที่เป็นที่ฝังตัวของหนอน โดยคาดหวังว่าแก๊สโอโซนสามารถเข้าทำลายตัวหนอนภายในเนื้อพริกโดยไม่ส่งผลกระทบต่อด้านคุณภาพสีและความแน่นเนื้อของพริก และจะเป็นประโยชน์ในการพัฒนาระบบการกำจัดหนอนในพริกเพื่อการส่งออกได้

อุปกรณ์และวิธีการ

ระบบการรมแก๊สโอโซน

ระบบรมแก๊สโอโซนความเข้มข้นสูง (Figure 1) ประกอบด้วยชุดกำเนิดโอโซนขนาดอัตราการผลิต 5.5 กรัม/ชม. ต่อพ่วงกับตู้รมภาชนะขนาด 0.4x0.4x1.2 ตร.ม. ด้านในบรรจุถังแบบโพลีคาร์บอเนตขนาด 25 ลิตร ทั้งสองส่วนเชื่อมต่อกันด้วยสายท่อลมและสายซิลิโคน

ส่วนชุดอุปกรณ์ควบคุมมี 2 ส่วน คือ ส่วนระบบควบคุมอุปกรณ์ทางไฟฟ้าและโปรแกรมควบคุมด้วยคอมพิวเตอร์ผ่านเครือข่ายไร้สาย (จาตุพงค์ และคณะ, 2554) ภายใน

ระบบมีการควบคุมอัตราการไหลของแก๊สออกซิเจนเพื่อผลิตเป็นแก๊สโอโซนที่ 7.5 ลิตร/นาที และความดันของระบบ 12 kPa

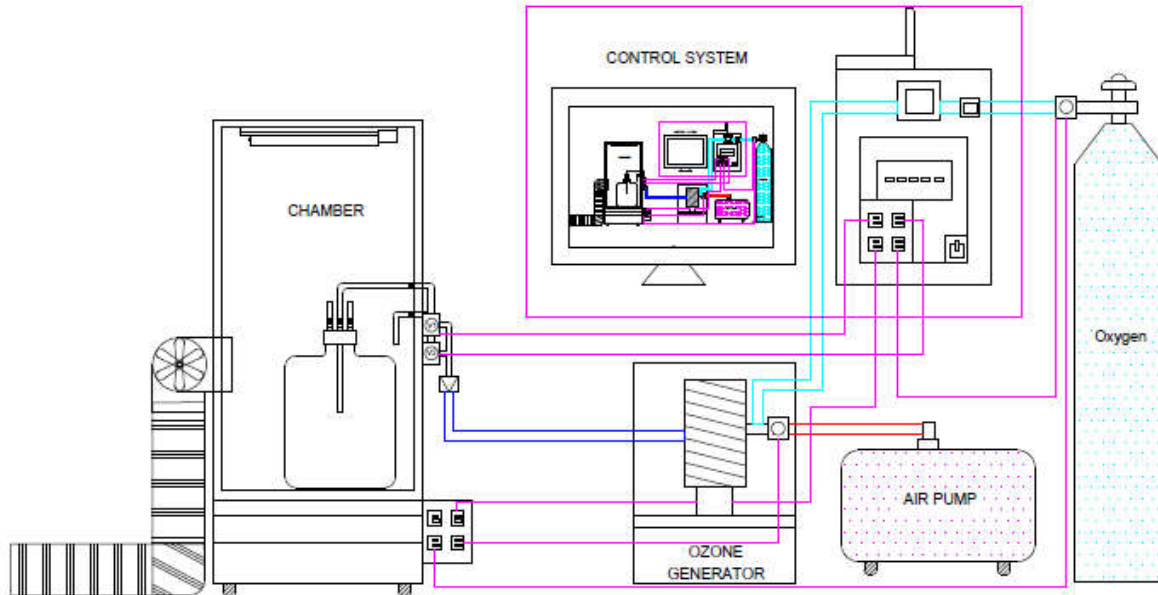


Figure 1 Ozone fumigation system, consisting of ozone generator, control system and chamber

การเตรียมตัวอย่างการทดสอบ

การทดสอบใช้พริกพันธุ์ชูปเปอร์ฮอท (*Capsicum frutescens* Linn.) จากตลาดขายส่งเมืองใหม่ จังหวัดเชียงใหม่ เลือกพริกที่เก็บเกี่ยวมาแล้วไม่เกิน 1 วัน การทดสอบนำพริกสดบรรจุลงถังโพลีคาร์บอนเนต 25 ลิตร จำนวน 4 กก. จะได้ปริมาตรครึ่งถัง แล้วรวมแก๊สโอโซนที่ความเข้มข้น 41,136-83,157 ppm และระยะเวลาในการรวมแก๊สโอโซน 5-15 นาที ซึ่งเท่ากับค่าปริมาณ Dose ความเข้มข้น (Concentration·Time; CT) ที่พริกได้รับ

มีค่า 389,480-1,168,440 ppm·min จากปัจจัยการทดลองถูกเลือกนำมาทดสอบ 8 ขั้นตอน ใน Table 1 ออกแบบการทดลองแบบสุ่มบล็อกสมบูรณ์ (Randomized Complete Block Design; RCBD) ทำการทดลอง 3 ซ้ำเก็บรักษาตัวอย่างโดยการบรรจุลงภาดโฟมหุ้มด้วยถุงพลาสติกใส มีรูแล้วนำเก็บรักษาไว้ที่อุณหภูมิ 5°C. และที่อุณหภูมิภายนอก 30°C. สำหรับทดสอบหาอัตราการตายของหนอนแมลงวันผลไม้

Table 1 Condition of ozone fumigation test on chilli fruit

Condition	Ozone concentration; C (ppm)	Holding time; T (min)	Dose; CT (ppm•min)
1	77,896	5	389,480
2	83,147	5	415,735
3	41,136	15	617,040
4	65,643	10	656,430
5	77,896	10	778,960
6	83,147	10	831,470
7	65,643	15	984,645
8	77,896	15	1,168,440

การวิเคราะห์หาปริมาณไฮโดรเจนเปอร์ออกไซด์

วิเคราะห์หาปริมาณไฮโดรเจนเปอร์ออกไซด์ในเนื้อพริกและไส้พริกตัดแปลงวิธีการจาก Abnova (2012) โดยการนำพริกมาหั่นแยกส่วนเนื้อและไส้พริกจากนั้นนำไปปั่นด้วยเครื่องปั่นละเอียด นำส่วนพริกบด 0.1 กรัม ใส่หลอดทดลอง เติมสารละลาย K_3PO_4 (pH 6.8) เข้มข้น 50 มิลลิโมล ลงไปปริมาณ 2 มล. สารละลาย EDTA 0.1 มิลลิโมล และ 100%PVPP ผสมให้เข้ากัน ปิดฝาหลอดทดลองแล้วนำไปเก็บไว้ที่อุณหภูมิ 20°C นาน 30 นาที จากนั้นนำไปปั่นแยกส่วนที่ความเร็ว 2,500 รอบ/นาที นาน 15 นาที แล้วเก็บของเหลวใสส่วนบน ใช้ 1 ปริมาตรของสารละลายตัวอย่างต่อ 10 ส่วน นำไปวัดค่าการดูดกลืนแสงที่ความยาวคลื่น 550 นาโนเมตร และคำนวณหาปริมาณของไฮโดรเจนเปอร์ออกไซด์จาก Standard curve

การวัดค่าสี

วัดค่าสีของพริกด้วยเครื่อง The Hunter Lab รุ่น MiniScan XE (Hunter Associates Laboratory, Inc., USA) โดยวัดที่เนื้อพริกและขั้วพริก เลือกสุ่มวัด 10 ตัวอย่างต่อ 1 หน่วยการทดลอง นำข้อมูล L^* , a^* และ b^* จากทั้ง 10 ตัวอย่าง หาค่าเฉลี่ยและวิเคราะห์หาค่าความแตกต่าง (ΔE) และเฉดสี (Hue angle) ของเนื้อพริกและ

ขั้วพริกเพื่อเปรียบเทียบความแตกต่างของค่าสีกับพริกควบคุมในระยะเวลา 14 วัน

$$\Delta E = \sqrt{(\Delta L^*)^2 + (\Delta a^*)^2 + (\Delta b^*)^2} \quad \text{---(1)}$$

$$\text{Hue angle} = \arctangent(b^*/a^*); \quad \text{---(2)}$$

$a^* > 0, b^* \geq 0$

$$\text{Hue angle} = \arctangent(b^*/a^*) + 180^\circ; \quad \text{---(3)}$$

$a^* < 0$

$$\text{Hue angle} = \arctangent(b^*/a^*) + 360^\circ; \quad \text{---(4)}$$

$a^* > 0, b^* < 0$

ค่า Hue angle แสดงช่วงสีของวัตถุมีค่าอยู่ระหว่าง 0-360 องศา คือ ค่า 0-45 องศา แสดงสีม่วงแดงถึงสีส้มแดง ค่า 45-90 องศา แสดงสีส้มแดงถึงสีเหลือง ค่า 90-135 องศา แสดงสีเหลืองถึงเหลืองเขียว ค่า 135-180 องศา แสดงสีเหลืองเขียวถึงเขียว ค่า 180-225 องศา แสดงสีเขียวถึงสีน้ำเงิน ค่า 225-270 องศา แสดงสีน้ำเงินเขียวถึงน้ำเงิน ค่า 270-315 องศา แสดงสีน้ำเงินถึงสีม่วง ค่า 315-360 องศา แสดงสีม่วงถึงม่วงแดง (อรัญ, 2554)

การวัดเนื้อสัมผัส

การวัดค่าเนื้อสัมผัสของพริกโดยจำลองการทดสอบแบบเจาะทะลุด้วยเครื่อง Texture Analyzer รุ่น TA-XT Plus (Stable Micro Systems Ltd., UK) ใช้หัวกดสแตนเลสทรงกระบอกเส้นผ่านศูนย์กลาง 2 มม. เจาะทะลุตัวอย่างด้วยความเร็ว 2 มม./วินาที เลือกสุ่มตัวอย่าง 5 ตัวอย่างต่อหน่วยการทดลอง เจาะทะลุห่างจากขั้วพริกประมาณ 1 ซม. ค่าความแน่นเนื้อพิจารณาจากค่าเฉลี่ยของแรงกดสูงสุดในการเจาะทะลุจากกราฟระหว่างแรงและระยะกด (จาดุพงษ์, 2547)

การทดสอบกำจัดหนอนแมลงวันผลไม้ด้วยระบบการรมแก๊สไอโซน

การทดสอบรมแก๊สไอโซนเพื่อกำจัดหนอนแมลงวันผลไม้ในพริก ใช้หนอนในระยะวัยที่ 3 ซึ่งเป็นหนอนวัยสุดท้ายก่อนการเจริญเติบโตเป็นดักแด้ โดยเพาะลงในเนื้อพริก 2 ตัวต่อ 1 ผล (10 ผล/หน่วยทดลอง) นำพริกที่เพาะหนอนมาวางไว้กันถัง ซึ่งเป็นตำแหน่งที่คาดว่า การแพร่กระจายของแก๊สไอโซนจะเข้าถึงพริกได้ยากที่สุด แล้วนำพริกทดสอบอีก 4 กก. ใส่ลงไปในถังได้ปริมาณครึ่งถัง จากนั้นทำการทดสอบปริมาณการปล่อยแก๊สไอโซนและระยะเวลาตาม Table 1 นำพริกที่ผ่านการรมแก๊สไอโซนมาจัดเก็บที่ 5 และ 30°C. สังเกตการเจริญเติบโตของหนอนและอัตราการตายของหนอนทุก 2 วัน เป็นเวลา 15 วัน เปรียบเทียบกับตัวอย่างควบคุมซึ่งไม่ได้ผ่านการรมแก๊สไอโซน

การวิเคราะห์ข้อมูลทางสถิติ

นำผลการทดลองมาวิเคราะห์ข้อมูลทางสถิติโดยใช้โปรแกรม SPSS (IBM Corporation, USA) เพื่อทดสอบหาค่าความแตกต่างทางสถิติอย่างมีนัยสำคัญของแต่ละการทดลองโดยใช้วิธี One-Way ANOVA เปรียบเทียบค่าเฉลี่ยแบบ Duncan's New Multiple Range Test ที่ระดับความเชื่อมั่น 95%

ผลการวิจัย

ค่าสีของพริกและขั้วพริก

ค่าสีของเนื้อพริกและขั้วพริกวิเคราะห์จากค่าความแตกต่างของสี (ΔE) และเฉดสี (Hue) ดัง Table 2 พบว่า ค่าความแตกต่างของสีเมื่อเปรียบเทียบกับตัวอย่างควบคุมตลอดอายุการเก็บรักษา ในระยะเวลา 14 วัน มีค่าความแตกต่างกันอย่างมีนัยสำคัญ ($p < 0.05$) อยู่ในช่วง 0.65-2.08 แต่ค่าความแตกต่างของสีบอกเฉพาะปริมาณความแตกต่างของสีเป็นตัวเลข ซึ่งเฉดสีบ่งบอกทิศทางความแตกต่างของสี พบว่าในวันที่ 1 หลังจากการรมแก๊สไอโซน พริกมีเฉดสีไม่แตกต่างจากพริกตัวอย่างควบคุม แสดงว่าการใช้แก๊สไอโซนความเข้มข้นสูงไม่มีผลต่อการเปลี่ยนแปลงสีของพริกอย่างมีนัยสำคัญ ($p > 0.05$) แต่ชุดการทดลองที่ 8 พริกมีสีแดงเข้มขึ้นเล็กน้อย เพราะเมื่อเวลาผ่านไปความเสื่อมของพริกมีผลต่อเฉดสีของเนื้อพริก และยังคงอยู่ในเฉดสีเดียวกันตลอดอายุการเก็บรักษา 14 วัน อย่างมีนัยสำคัญ ($p < 0.05$)

Table 2 Color difference ΔE and hue angle of chilli fruit after ozone fumigation

Condition	ΔE					Hue				
	Day1	Day4	Day8	Day11	Day14	Day1	Day4	Day8	Day11	Day14
Chilli fruit										
Control	-	-	-	-	-	0.60 ^{aB}	0.60 ^{aB}	0.59 ^{aB}	0.62 ^{aB}	0.65 ^{cA}
1	0.99 ^{bC}	1.76 ^{aA}	1.91 ^{aA}	1.54 ^{bB}	1.91 ^{aA}	0.59 ^{aB}	0.58 ^{bB}	0.54 ^{bB}	0.60 ^{abA}	0.68 ^{aA}
2	1.75 ^{aA}	1.87 ^{aA}	1.30 ^{cC}	1.04 ^{cB}	1.36 ^{bB}	0.59 ^{aB}	0.58 ^{bB}	0.58 ^{aB}	0.60 ^{abB}	0.67 ^{aA}
3	0.65 ^{cC}	1.25 ^{cC}	1.72 ^{bB}	1.92 ^{aA}	1.01 ^{cA}	0.60 ^{aB}	0.58 ^{bB}	0.54 ^{bB}	0.60 ^{abB}	0.67 ^{aA}
4	1.37 ^{bA}	1.02 ^{cC}	2.08 ^{aA}	1.62 ^{bB}	1.55 ^{bB}	0.59 ^{aB}	0.59 ^{abB}	0.56 ^{abB}	0.58 ^{bB}	0.66 ^{bA}
5	1.83 ^{aA}	1.12 ^{cC}	1.64 ^{bB}	1.89 ^{aA}	1.67 ^{bB}	0.60 ^{aB}	0.58 ^{bB}	0.58 ^{aB}	0.58 ^{bB}	0.65 ^{cA}
6	1.56 ^{bA}	1.76 ^{aA}	1.22 ^{cB}	1.10 ^{cB}	1.93 ^{aA}	0.60 ^{aB}	0.58 ^{bB}	0.55 ^{abB}	0.62 ^{aB}	0.64 ^{cA}
7	1.25 ^{bB}	1.76 ^{aA}	1.90 ^{aA}	1.00 ^{cB}	1.11 ^{cB}	0.60 ^{aB}	0.60 ^{aB}	0.58 ^{aB}	0.61 ^{aB}	0.66 ^{bA}
8	1.82 ^{aA}	1.50 ^{bB}	1.35 ^{cB}	1.56 ^{bB}	1.86 ^{aA}	0.62 ^{bB}	0.58 ^{bB}	0.54 ^{bB}	0.62 ^{aB}	0.66 ^{bA}

Alphabet letters indicate least significant difference within column (^{a-c}) and row (^{A-B}) between means of 10 samples using Duncan's New Multiple Range Test at 95% confidence level.

Table 3 แสดงการวิเคราะห์ค่าสีของขั้วพริก พบว่า มีค่าสีความแตกต่างของสี (ΔE) เมื่อเปรียบเทียบกับตัวอย่างควบคุมในระยะเวลา 14 วัน มีความแตกต่างกันอย่างมีนัยสำคัญ ($p \leq 0.05$) ตลอดอายุการเก็บรักษา โดยมีค่าอยู่ในช่วง 1.25-5.67 แสดงว่า สีของขั้วพริกที่ได้หลังจากการทดสอบรมแก๊สโอโซนมีค่าความแตกต่างจากสีขั้วพริกตัวอย่างควบคุม แต่ค่าความแตกต่างของสีบอกระดับความแตกต่างของสีเป็นตัวเลข ซึ่งเฉดสีบ่งบอกทิศทางความแตกต่างของสีพบว่า ในวันที่ 1 หลังจากการรมแก๊สโอโซน พริกมีเฉดสีของขั้วแตกต่าง

จากเฉดสีของขั้วพริกตัวอย่างควบคุมอย่างมีนัยสำคัญ ($p \leq 0.05$) โดยสีของขั้วพริกทุกชุดการทดลองมีค่าเฉดสีมากกว่าพริกตัวอย่างควบคุมและมีความเป็นสีเขียวเข้มมากกว่า และความแตกต่างตลอดอายุการเก็บรักษาทุกชุดการทดลองมีค่าความแตกต่างอย่างมีนัยสำคัญ ($p \leq 0.05$) แต่ค่ามุมของสีขั้วพริกตัวอย่างควบคุมที่วันที่ 1 และวันที่ 14 มีค่าไม่แตกต่างกันอย่างมีนัยสำคัญ ($p > 0.05$) แสดงว่าการใช้แก๊สโอโซนความเข้มข้นสูงมีผลต่อการเปลี่ยนแปลงสีของขั้ว

Table 3 Color measurements of chilli particle, values of color different (ΔE) and hue angle

Condition	ΔE					Hue				
	Day1	Day4	Day8	Day11	Day14	Day1	Day4	Day8	Day11	Day14
Chilli particle										
Control	-	-	-	-	-	178.70 ^{CB}	178.72 ^{BA}	178.68 ^{BC}	178.68 ^{BC}	178.70 ^{BB}
1	5.67 ^{AA}	4.18 ^{BB}	5.08 ^{AB}	3.75 ^{BC}	3.18 ^{CC}	178.73 ^{BA}	178.71 ^{BB}	178.68 ^{BC}	178.71 ^{AB}	178.67 ^{CC}
2	4.89 ^{BA}	4.90 ^{AA}	4.16 ^{BB}	4.14 ^{BB}	2.95 ^{CC}	178.72 ^{BA}	178.72 ^{BA}	178.70 ^{AB}	178.68 ^{BC}	178.68 ^{BC}
3	4.05 ^{BA}	1.93 ^{CC}	2.47 ^{CB}	3.39 ^{CB}	4.28 ^{BA}	178.72 ^{BA}	178.68 ^{CB}	178.66 ^{BB}	178.65 ^{CC}	178.64 ^{CC}
4	2.56 ^{CC}	4.03 ^{BB}	3.38 ^{BB}	4.77 ^{AA}	4.24 ^{BB}	178.72 ^{BA}	178.71 ^{BA}	178.71 ^{AA}	178.73 ^{AA}	178.69 ^{BB}
5	4.70 ^{BA}	4.45 ^{AA}	3.58 ^{BB}	4.54 ^{AA}	4.46 ^{BA}	178.72 ^{BA}	178.72 ^{BA}	178.70 ^{AB}	178.68 ^{BB}	178.70 ^{BB}
6	2.07 ^{CC}	2.76 ^{CB}	1.62 ^{CC}	3.27 ^{CB}	4.77 ^{AA}	178.74 ^{BA}	178.74 ^{BA}	178.71 ^{AB}	178.71 ^{AB}	178.71 ^{BB}
7	3.73 ^{CA}	2.50 ^{CC}	1.25 ^{CC}	3.34 ^{CB}	3.04 ^{CB}	178.71 ^{CA}	178.73 ^{BA}	178.70 ^{AB}	178.69 ^{BB}	178.69 ^{BB}
8	5.56 ^{AA}	4.79 ^{AB}	2.62 ^{CC}	3.18 ^{CC}	4.05 ^{BB}	178.79 ^{AA}	178.77 ^{AA}	178.72 ^{AC}	178.70 ^{BC}	178.74 ^{AB}

Alphabet letters indicate least significant difference within column (^{a-c}) and row (^{A-B}) between means of 10 samples using Duncan's New Multiple Range Test at 95% confidence level.

ค่าความแน่นเนื้อ

ค่าความแน่นเนื้อของพริกที่ผ่านการรมแก๊สโอโซนทุกชุดการทดลองเมื่อเทียบกับตัวอย่างควบคุม ดังแสดงใน Figure 2 พบว่ามีค่าน้อยกว่าเล็กน้อย เมื่อนำค่ามา

เปรียบเทียบจากผลการวิเคราะห์ทางสถิติพบว่า ค่าความแน่นเนื้อของพริกทุกชุดการทดลองไม่มีความแตกต่างกับพริกตัวอย่างควบคุมอย่างมีนัยสำคัญ ($p > 0.05$) และความแน่นเนื้อมีแนวโน้มลดลงตลอดอายุการเก็บรักษา 14 วัน

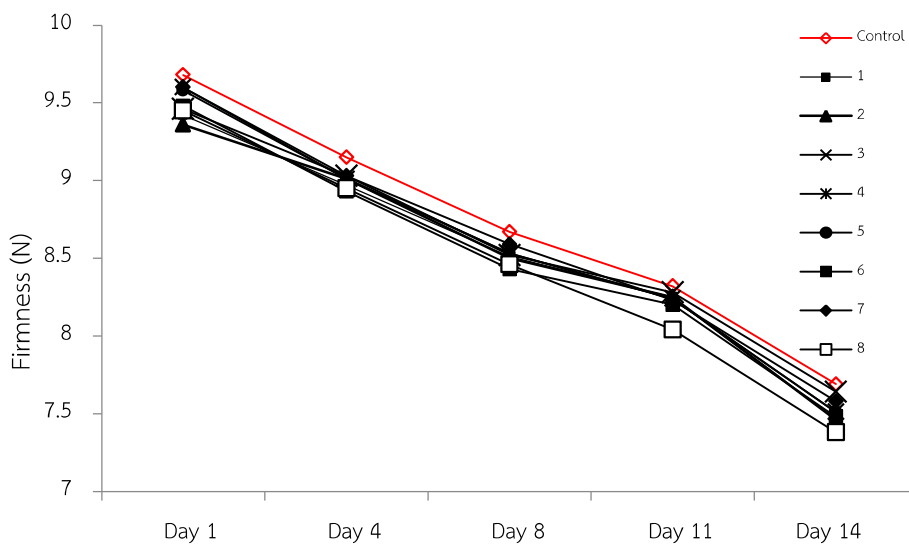


Figure 2 Effect of ozone fumigation on firmness of chilli remark: Numeric labels indicate treatment number.

ปริมาณไฮโดรเจนเปอร์ออกไซด์

การรมแก๊สไอโซนมีผลต่อปริมาณไฮโดรเจนเปอร์ออกไซด์ทั้งในเนื้อพริกและไส้พริก ดังใน Figure 3 ปริมาณไฮโดรเจนเปอร์ออกไซด์ในเนื้อพริกและไส้พริกทุกชุดการทดลองมีค่ามากกว่าพริกตัวอย่างควบคุม ค่าปริมาณไฮโดรเจนเปอร์ออกไซด์สูงสุดในเนื้อพริกและในไส้พริก ที่ชุดการทดลองที่ 8 เมื่อเก็บไว้เป็นเวลานาน 12 วัน มีค่า 2%(v/v) และ 0.95%(v/v) ตามลำดับ การที่ปริมาณไฮโดรเจนเปอร์ออกไซด์ในเนื้อพริกมีมากกว่าในไส้พริกอาจเกิดจากการสัมผัสแก๊สไอโซนมากกว่า และ

แก๊สไอโซนมีการแทรกซึมผ่านเนื้อพริกและทำปฏิกิริยากับเซลล์พืช ทำให้เซลล์เนื้อพริกได้รับความเสียหาย ศรัณยา และคณะ (2549) ได้กล่าวว่า ปริมาณไฮโดรเจนเปอร์ออกไซด์ที่เพิ่มขึ้นอาจเกิดจากแก๊สไอโซนมีการซึมผ่านแล้วเข้าไปทำให้เกิดปฏิกิริยากับเซลล์เมมเบรน ทำให้เซลล์พืชได้รับความเสียหาย และในขณะที่พืชเกิดความเสียหายนั้นเกิดการสร้างสารอนุมูลอิสระต่างๆ เช่น ซูเปอร์ออกไซด์เรดิคัล และไฮโดรเจนเปอร์ออกไซด์ เป็นต้น จึงทำให้สามารถวัดค่าไฮโดรเจนเปอร์ออกไซด์ได้ในช่วงเวลาต่อมา หลังจากการรมแก๊สไอโซน

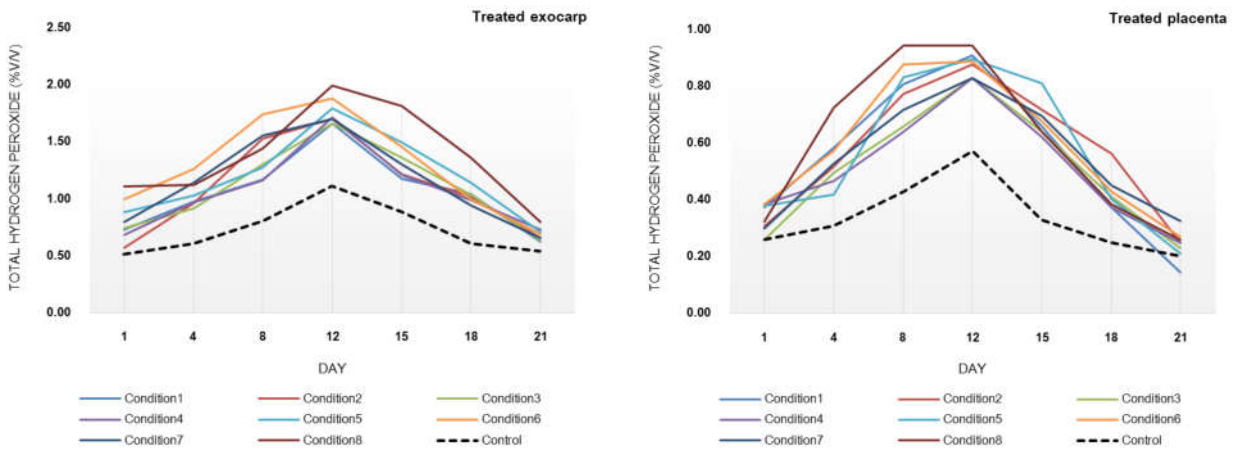


Figure 3 Total hydrogen peroxide in exocarp and placenta of chilli, stored at 5°C for 21 day

ผลการรมแก๊สไอโซนเพื่อกำจัดหนอนแมลงวันผลไม้ในพริก

การกำจัดหนอนแมลงวันผลไม้ในพริก สังเกตจากการเจริญเติบโตและการตายของหนอนเป็นเวลา 15 วัน ที่อุณหภูมิ 5 และ 30°ซ. พบว่า จาก Table 4 พริกเก็บไว้ที่อุณหภูมิ 5°ซ. ทั้งสองแบบ คือ พริกที่มีหนอนแบบเพาะเลี้ยงและพริกที่มีหนอนตามธรรมชาติไม่พบการเจริญเติบโตของหนอน และพริกไม่เกิดการเน่าเสียทุกชุดการทดลองเช่นเดียวกับในพริกตัวอย่างควบคุม ในขณะที่พริกเก็บที่อุณหภูมิภายนอก 30°ซ. ซึ่งเป็นอุณหภูมิที่

เหมาะสมต่อการเจริญเติบโตและการเน่าเสียของพริก พบว่า ในชุดการทดลองที่ 1 ซึ่งมีปริมาณ Dose ที่พริกได้รับที่ CT เท่ากับ 389,480 ppm·min สามารถกำจัดหนอนในพริกได้ คิดเป็นอัตราการตาย 90% และในชุดการทดลองที่ 2, 3 และ 4 มีปริมาณ Dose ที่พริกได้รับที่ CT เท่ากับ 415,735-656,430 ppm·min สามารถกำจัดหนอนในพริกได้ คิดเป็นอัตราการตาย 95% ส่วนชุดการทดลองที่ 5, 6, 7 และ 8 ซึ่งมีปริมาณ Dose ที่พริกได้รับที่ CT เท่ากับ 778,960-1,168,440 ppm·min เป็นชุดการทดลองที่มีอัตราการตายของหนอนถึง 100%

Table 4 Mortality rate of fruit fly larvae in chilli after ozone fumigation

Condition	CT (ppm·min)	Mortality rate of larvae (%)			
		Cultured larvae chilli		Natural larvae chilli	
		Temp 4-6°C	Temp 30°C	Temp 4-6°C	Temp 30°C
1	389,480	95%	90%	N/A	85%
2	415,735	N/A	95%	N/A	90%
3	617,040	N/A	85%	N/A	95%
4	656,430	N/A	90%	N/A	95%
5	778,960	N/A	100%	N/A	100%
6	831,470	N/A	100%	N/A	100%
7	984,645	N/A	100%	N/A	100%
8	1,168,440	N/A	100%	N/A	100%

N/A indicates non-appearance of larvae emerged or fruit spoilage

จากข้อมูลอัตราการตายของหนอนแมลงวันผลไม้ สามารถนำมาแสดงความสัมพันธ์เป็นเส้นกราฟ แนวโน้มความสามารถของแก๊สโอโซน ในการกำจัด หนอนแมลงวันผลไม้ในพริก ดังแสดงใน Figure 3 แสดงอัตราการตายของหนอนที่ผ่านการรมแก๊สโอโซน ซ้อนทับกับความสามารถในการกระจายตัวของแก๊สโอโซน โดยที่จุด Optimum dose CT คือ จุดที่แก๊สโอโซน สามารถกระจายตัวทั่วบริเวณถัง และมีประสิทธิภาพ แทรกซึมได้อย่างสมบูรณ์ ซึ่งอยู่ในโซน Usable dose CT มีปริมาณความเข้มข้นของแก๊สโอโซนที่พริกได้รับ CT ในช่วง 389,480-1,168,440 ppm·min ในจุดที่ Lower dose CT คือ จุดที่แก๊สโอโซนมีการกระจายตัวไม่ทั่ว

บริเวณถัง และจุด Over dose CT คือ จุดที่แก๊สโอโซน มีความเข้มข้นสูงเกินไป จนทำให้มีผลต่อคุณภาพของ พริกและทำให้กระดาษลิตมัสเปลี่ยนเป็นสีขาว ค่า %Mortality คือ อัตราการตายของหนอนแมลงวันผลไม้ พบว่า บริเวณพื้นที่สำหรับใช้ในการกำจัดหนอนแมลงวัน-ผลไม้ในพริกมีอัตราการตาย 100% คือ พื้นที่แรงเงาสีฟ้าเข้ม มีปริมาณ Dose โอโซนที่พริกได้รับ CT ในช่วง 778,960-1,168,440 ppm·min พื้นที่แรงเงาสีฟ้าอ่อน เป็นบริเวณขอบเขตของหนอนแมลงวันผลไม้ที่มีอัตรา การตาย 95% ที่ปริมาณ Dose โอโซนที่พริกได้รับ CT ในช่วง 389,480-656,430 ppm·min

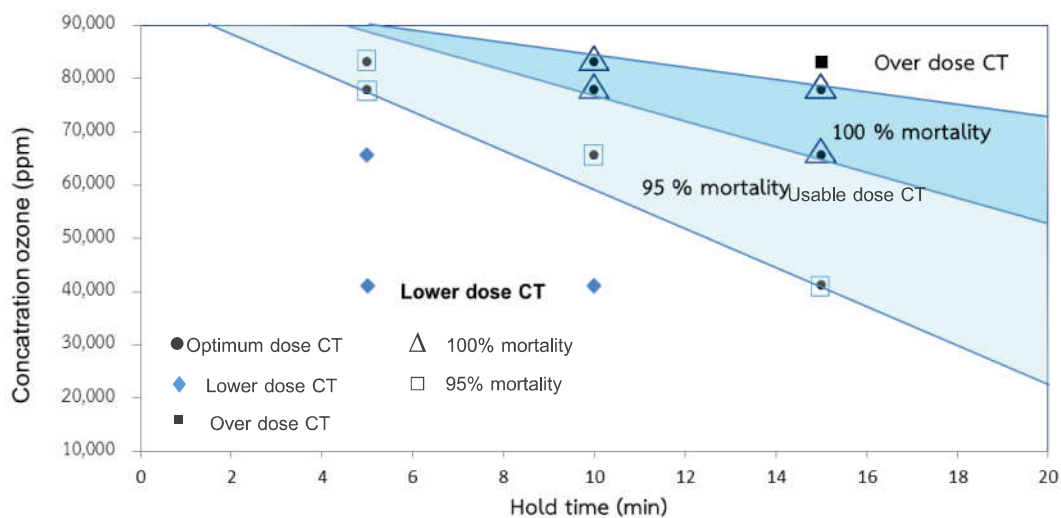


Figure 3 Mortality rate of fruit fly at various concentration and time of ozone fumigation

วิจารณ์และสรุปผลการวิจัย

การพัฒนากระบวนการรมแก๊สโอโซนให้เหมาะสมกับการรมพริกสดหลังการเก็บเกี่ยวผลผลิต สามารถทำให้แก๊สโอโซนแทรกซึมเข้าไปยังเนื้อพริกจนถึงไส้พริกได้ที่ปริมาณ Dose โอโซนที่พริกได้รับ CT ในช่วง 389,480-1,168,440 ppm·min ทำให้ปริมาณไฮโดรเจนเปอร์ออกไซด์เพิ่มมากขึ้น และเมื่อเวลาผ่านไป 3 สัปดาห์ ปริมาณไฮโดรเจนเปอร์ออกไซด์ทุกชุดการทดลองและพริกตัวอย่างควบคุมมีค่าลดลงทั้งในเนื้อพริกและไส้พริก แสดงว่าแก๊สโอโซนสามารถแทรกซึมเข้าไปยังไส้พริกได้และสามารถฆ่าหนอนแมลงวันผลไม้ได้ ค่าปริมาณ Dose โอโซนที่พริกได้รับที่ CT ในช่วง 778,960-1,168,440 ppm·min สามารถกำจัดหนอนแมลงวันผลไม้ในพริกได้ โดยมีอัตราการตาย 100% และที่ปริมาณ Dose โอโซนที่พริกได้รับ CT ในช่วง 389,480-656,430 ppm·min กำจัดหนอนแมลงวันผลไม้ในพริก โดยมีอัตราการตาย 95% การที่พบตัวหนอนมีชีวิตหลังการรมแก๊สโอโซนในชุดการทดลองที่ 5 และ 6 ที่ CT เท่ากับ 778,960 และ 831,470 ppm·min ตามลำดับ และเมื่อเวลาต่อมาหนอนได้ตายลงในที่สุด อาจเป็นผลจากความเข้มข้นของแก๊สโอโซน ซึ่งเป็นไปได้ว่าแก๊สโอโซนไม่สามารถทำให้หนอนตายในทันทีหลังจากการ

รมแก๊ส แต่จะทำให้หนอนอ่อนแอลงและตายในเวลาต่อมา ซึ่งหากหนอนได้รับแก๊สโอโซนปริมาณมากหนอนจะตายทันที ดังในชุดการทดลอง 7 และ 8 ที่ CT เท่ากับ 984,645 และ 1,168,440 ppm·min ตามลำดับ ที่ไม่พบการเจริญเติบโตของหนอนหลังจากการรมแก๊สโอโซน แสดงว่า ปริมาณ Dose โอโซนที่พริกได้รับมากพอที่ทำให้หนอนตายทันทีหลังจากการรมแก๊สโอโซน ซึ่งสามารถกำจัดหนอนแมลงวันผลไม้ได้ 100 %

ด้านคุณภาพของพริกการรมแก๊สโอโซนความเข้มข้นสูงไม่มีผลต่อค่าสีเนื้อพริกและค่าความแน่นเนื้อของพริกในทุกชุดการทดลอง แต่การที่พริกได้รับการรมแก๊สโอโซนมีค่าความแน่นเนื้อน้อยกว่าตัวอย่างควบคุมเล็กน้อยนั้น อาจเกิดจากการซ้ำของพริกที่เกิดขึ้นระหว่างการทดสอบการรมแก๊สโอโซน แต่การรมแก๊สโอโซนความเข้มข้นสูงมีผลทำให้สีของขั้วพริกมีสีเขียวเข้มขึ้นทุกชุดการทดลอง

กิตติกรรมประกาศ

ขอขอบคุณ คณะวิศวกรรมและอุตสาหกรรมเกษตร และบัณฑิตวิทยาลัย มหาวิทยาลัยแม่โจ้ ที่สนับสนุนทุนวิจัยในครั้งนี้

เอกสารอ้างอิง

- กฤษฎา จาตุรัส. 2550. ความสัมพันธ์ระหว่างลักษณะทางสัณฐานวิทยาของผลพริกกับการเข้าทำลายของแมลงวันพริก (*Bactrocera latifrons* (Hendel)). วิทยานิพนธ์ปริญญาโท. มหาวิทยาลัยเกษตรศาสตร์. 111 น.
- จาดุพงศ์ วาฤทธิ์. 2547. คุณสมบัติทางกายภาพของผลผลิตทางการเกษตร. เอกสารประกอบการสอน. เชียงใหม่: มหาวิทยาลัยแม่โจ้. 103 น.
- จาดุพงศ์ วาฤทธิ์ นลิน วงศ์ขัตติยะ และนพมณี โทปัญญา นนท์. 2554. การพัฒนาระบบปลอดเชื้อภาชนะเพาะเลี้ยงเนื้อเยื่อด้วยโอโซนสำหรับระบบไบโอรีแอกเตอร์จุ่มข้าวระดับอุตสาหกรรม. ใน การออกแบบและพัฒนา ระบบไบโอรีแอกเตอร์จุ่มข้าวขนาดใหญ่เพื่อรองรับการผลิตต้นอ้อยปลอดโรคระดับอุตสาหกรรม. รายงานโครงการวิจัย. เชียงใหม่: มหาวิทยาลัยแม่โจ้. 38 น.
- ศรัณยา เฟงผล กานดา หวังชัย และพีระวุฒิ วงศ์สวัสดิ์. 2549. ผลของโอโซนต่อการเปลี่ยนแปลงปริมาณเปอร์ออกไซด์ในผลลำไยพันธุ์ต่อระหว่างการเก็บรักษาที่อุณหภูมิต่ำ. วารสารวิทยาศาสตร์เกษตร 37(5)(พิเศษ): 160-163.
- อรัญ ชาญสืบสาย. 2554. การสื่อสารอย่างแม่นยำและการควบคุมสีจากการรับรู้ไปสู่อุปกรณ์วัดสี. กรุงเทพฯ: ภาควิชาวิทยาศาสตร์ทางภาพถ่ายและเทคโนโลยีทางการพิมพ์ คณะวิทยาศาสตร์ จุฬาลงกรณ์มหาวิทยาลัย. 59 น.
- Abnova. 2012. Hydrogen Peroxide Colorimetric Detection Kit, Catalog Number KA1017. [Online]. Available <http://www.abnova.com> (24 September 2012).
- Kasiviswanathan M., C.P.O'Donnell and P.J. Cullen. 2009. Ozone Treatment of Food Materials. In Jun, S. and J.M. Irudayaraj (ed.). Food Processing Operations Modeling, Design and Analysis. New York: CRC Press. 368 p.
- Guzel-Seydim, Z.B., A.K. Greene and A.C. Seydim. 2004. Use of ozone in the food industry. Lebensm.-Wiss. u.-Technol. 37: 453-460.
- Marissa, X.M., A.C. Carlos, J.M. Linda, E.M. Dirk, D. Adrian and W. Charles. 2011. Ozone application in a modified screw conveyor to treat grain for insect pests, fungal contaminants, and mycotoxins. J. Stored Prod. Res. 47: 249-254.
- Martin, H., G.S. Jesper, H. Lars-Henrik, S. Stine, H. Peer and S.H. Lise. 2011. Effects of ozone on gene expression and lipid peroxidation in adults and larvae of the red flour beetle (*Tribolium castaneum*). J. Stored Prod. Res. 47: 378-384.